

II-59

二次元噴流における組織渦の構造と界面変動

九州大学工学部 正員 小松 利光
 九州工業大学 正員 浦 勝
 九州大学工学部 正員 松永 信博
 九州大学大学院 学生員 ○小坪 洋巳

1. まえがき

乱流において、いかにも秩序立つた大規模渦運動の存在が明らかにされて以来、境界層乱流や自由乱流、混合層流についての多くの研究がなされてきた。特に二次元噴流は、進行現象が組織渦と密接に関連していることもあり、盛んに研究されてきた。著者らは従来より二次元噴流について研究してきたが、今回ホットフィルム流速計、濃度計、差圧計による多変量の同一点同時測定及可視化法による空間的な多点測定を行つた。本文ではこれら実験結果を記し、二次元噴流における組織渦の構造と界面変動について考察を加えてみる。

2. 実験方法とデータの解析

図-1は実験装置の概略図を示してある。水槽は、長さ2m、幅20cm、高さ1.3mで片面アクリル板の鋼製水槽を用い、水槽内の淡水中に幅 $B_0 = 0.5, 2, 5\text{ cm}$ のスリットから塩水を下方に噴出させて二次元噴流の流れを作つた。表-1に実験条件を示すが、ここで初期内部フルード数 $F_{ro} = U_0 / \sqrt{g B_0} z$ 定義されており、流速・圧力・密度の同一点同時測定で U_0 、V型2方向ホットフィルム2個、塩分濃度計及び差圧計を用い、また可視化法による測定では、噴出塩水をフルオレセイング着色LVTRで連続撮影した。

3. 実験結果とその考察

3-1 組織渦の空間的特性 ホットフィルム流速計、差圧計より得られた変動成分 u , v , w , p の自己相関関数のうち代表例としてRUN IV $x = 10\text{ cm}$, $x = 40\text{ cm}$, $y = 8$ (断面最大流速 $U_m = 1/2$ の流速とも等しい)の噴流中心からの距離((半値半幅)を δ とすると)における相間を図-2に示す。 $x = 10\text{ cm}$ における R_{uu} , R_{vv} は $T = 0.8 \sim 0.9\text{ sec}$ で可視化法から得られた組織渦の周期に対応する最初のピークを示すが、 R_{ww} , R_{pp} は $T = 0.45\text{ sec}$ 附近に最初のピークがみられ2番目のピークが $T = 0.8\text{ sec}$ で組織渦に対応している。即ち、組織渦の約半分の周期へ変動が w 及 p に生じている。これは図-3のスペクトル図に於ける w , p のスペクトルにだけ明確な2つのピークがみられることがからわかる。渦の合体が激しく起つて3噴出口付近では u , v , w , p いずれも $T = 3 \sim 5\text{ sec}$ で組織渦の周期に対応するピークをもつてゐる。これは渦が飛下するにいたがい

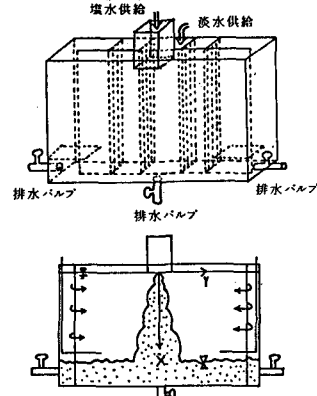
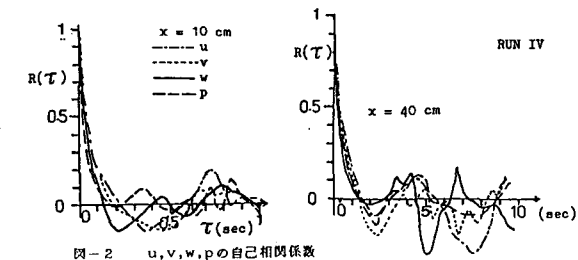
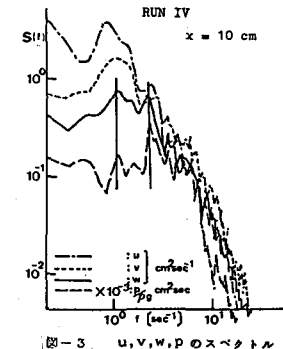


図-1 実験装置
表-1 実験条件

Run	初期流速 U_0 (cm/s)	無次元密度差 $(\rho_a - \rho_0)/\rho_0$	噴出口幅 B_0 (cm)	初期フルード 数 F_{ro}	初期内部 フルード数 f_{ro}
I	53.9	0.0098	0.5	10.78	4.93
II	95.9	0.0098	5.0	1.92	0.277
III	124.1	0.0070	2.0	6.21	1.68
IV	120.7	0.0125	0.5	24.14	9.75
V	108.1	0.0125	5.0	2.16	0.276

図-2 u, v, w, p の自己相関係数図-3 u, v, w, p のスペクトル

漏径が増大したが、 \pm 方向には実験水槽幅の抑制を受けて、強制的に二次元化させられていたと解釈された。

3-2 組織渦の合体機構 可視化法のデータを用いて界面変動を求り、組織渦の合体の様子を調べた。界面の変動量は図-4のように基準線を選び、そこからの距離を読み取って求めたものである。図-5は、 $X = 3 \sim 22 \text{ cm}$ の界面変動のスペクトルを示したもので、図中の縦線はスペクトルのピーク位置を表している。
 図に於いて顕著なピークは $f = 2 \text{ Hz}$ と $f = 1 \text{ Hz}$ にみられ、この2種類の渦が卓越していることがわかる。 $X = 3 \text{ cm}$ から $X = 7 \text{ cm}$ へと流下する間に 1 Hz から 2 Hz の渦から 1 Hz の渦へとエネルギーが移行している。また、 $X = 6 \text{ cm}$ 附近で最も頻繁に 2 Hz の渦の合体が起こり、その結果 1 Hz の渦が生じている。
 (口) 図では 1 Hz の半分の 0.5 Hz 附近に更にピークが発生、成長しており、 1 Hz の渦の合体により 0.5 Hz の渦が生じている。エネルギーのピークの大小関係から、 $Z = 11 \text{ cm}$ 附近で再び合体が起こり、起つてはいることがわかる。(ハ) 図では 0.5 Hz のピークとともに 0.32 Hz のピークが現われている。また(二)図では 0.5 Hz 、 0.32 Hz に加え 0.25 Hz もピークが認められる。 0.5 Hz のパワーと 0.25 Hz のパワーは流下とともに変化し、 0.25 Hz のパワーが相対的に大きくなるところから $X = 22 \text{ cm}$ 附近で最も盛んに 0.5 Hz の渦が合体して 0.25 Hz の渦が生成していることが明らかである。これに対し、 0.32 Hz の渦と 0.50 Hz の渦のパワーの相対的な大小関係はほとんど変化しないことがわかる。
 次に図-6は、界面変動の時系列にZero up cross 法を適用して渦の平均周期を求め、得られた周期 T_2 を X に対してプロットしたものである。界面変動のデータはランダムな乱れによる変動を含んでおり、周期 T_2 は必ずしも組織渦の周期に対応しないが、周期の変化の大さから目安は得ることができる。
 図-6より、周期 T_2 は流下方向に増加しているが、特に $X = 6 \text{ cm}, 12 \text{ cm}, 22 \text{ cm}$ 付近で急に大きくなっている。組織渦が合体していると思われる。その合体地点は上述の界面変動のスペクトルより得られた地点とほぼ一致している。また図-7に示したように同時に測定したいくつかの地点の界面変動の時系列のデータを用いて変動のピークを X に沿って追跡して組織渦の挙動を調べた。図-8にその結果を示すが、渦が合体している個数を減らしていくのがよくわかる。特に $X = 5 \sim 6 \text{ cm}, 10 \sim 11 \text{ cm}$ 附近で頻繁に合体が起こっている。スペクトルや周期 T_2 からの考察結果とよく一致している。

4. おわりに

組織渦の合体については合体の発生位置に普遍性をもたせることは、 X を無次元表示して $3 \sim 30$ の実験条件について考慮する必要がある。

最後に、本研究に終始御指導いたいた九州大学 橋東一郎教授に深甚なる謝意を表します。

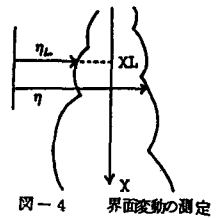


図-4 界面変動の測定

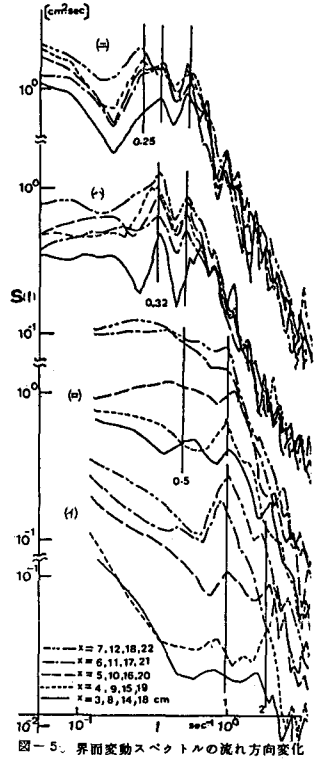


図-5 界面変動スペクトルの流れ方向変化

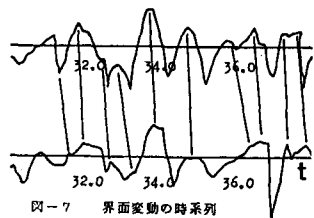


図-6 T_2 の流下方向の変化

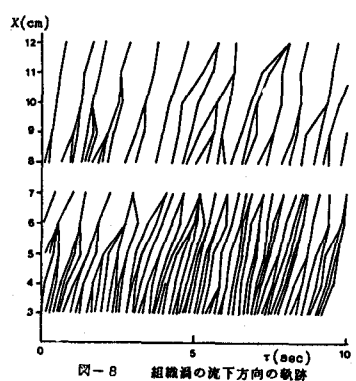


図-7 界面変動の時系列